

水中掘削の機構について

京都大学工学部 工博 畠 昭治郎
日建設計工務KK. 工修 ○伊勢村 邦郎

1. まえがき　　掘削の問題に関して、ことに、固定平刃による切削に関して、これまで多くの研究がなされている。これらは、主に、土質力学の問題の応用、つまり、土圧論、支持力論の適用によって解かれている。しかし、動的要素の多い掘削の問題を、微小変位の仮定から出発していふすべり線の概念によってとらえているところに問題点を含んでいふ。本報は、特に動的な影響の大とみられる水中掘削を取りあげ、掘削機構解明の基礎となる定常切削の性状を明らかにしたものである。

2. 水中定常切削機構について　　乾燥か又は干燥土の地表土に関して、これまで行はれた研究には、大別して 2 つの方法があり、1つは土圧論的方法であり、1つは現場での切削抵抗度試験に基づく実験式的方法である。地表土の切削の場合、切削抵抗は切削速度の影響をうけないことが明らかになっており、これが、力の釣合条件から切削抵抗を求めることを可能にしていふ。しかし、水中で飽和した砂の切削の場合、つぎのことを考えられる。透水性の大きな砂質土であっても、これを非排水せん断すると、せん断中に間げき水の出入がないうため、密な砂では体積が膨張しそうとすることによって、間げき水中に負圧が発生する。したがって、せん断抵抗は排水状態でせん断する場合に比べて増大する。刃による切削も、刃の前進によって地盤にせん断破壊を生ぜしめることにはかなりのもので、水中で飽和した地盤では、せん断時に給排水が即応する場合以外、切削抵抗は給排水の難易度の影響をうける。給排水の難易度はせん断速度、つまり、切削速度によって異なり、透水係数と給排水距離によつて評価できうる。このようは、切削抵抗に影響する多くの因子の関係を定量的に求めることは困難であるので、次元解析によつて関係因子の形を求める。切削抵抗に関する因子は、

- 単位刃幅当たりの切削抵抗 H_b dyne。刃と土の摩擦角 δ degree。切削速度 V cm/sec
 - 切削深さ Z cm。土の単位体積重量 γ kg/cm³。土の透水係数 k cm/sec
 - すべり角 α degree。土の切削強度指數 E_s kg/cm²。重力加速度 g cm/sec²
- であり、刃定理により、無次元積の関係として切削抵抗を表現すると、次の式とす。

$$H/b \cdot Z^2 = f(\alpha, \delta, E_s, V/k, g/g_s) \quad \text{--- (1)}$$

実際の関数形は実験によつて求めなければならぬ。

3. 実験試料および実験方法　　実験に用いた試料は表.1 に示した。粒径と間げき比の異なる 7 種類の砂である。切削刃の幅は 5 cm、切削速度は 0.3 ~ 9.5 cm/sec の範囲で 5 段階に変えた。

4. 実験結果および考察　　まず、すべり角 α について、切削深さと切削速度を変えた実験の結果、切削抵抗水平分力 (H_0) は、切削深さ一定

試料	平均粒径 mm	摩擦指數	真比重	間げき比	排水度	吸水率 %	透水係数 kg/cm ² sec ⁻¹	
B-0 穀穀粉砂	0.03	4.9	2.65	0.66	1.60	1.14	1.00	
B-1 穀穀粉砂	0.57	2.5	2.64	0.81	1.47	0.50	1.55	
B-14				0.66	1.60	1.03	0.87	
B-21 穀穀粉砂	1.40	1.3	2.65	0.92	1.38	0.38	9.05	
B-24				0.75	1.51	0.70	5.20	
SL	豊浦粉砂	0.18	1.3	2.63	0.69	1.56	1.15	0.64
Sd	豊浦粉砂	0.18	1.3	2.63	0.61	1.61	1.46	0.55

表.1 実験試料

の場合、切削速度に比例し、切削速度一定の場合、切削深さの2乗に比例する。したがって H_0/b^2 を b^2 で割った値は切削速度に比例する。(図.1参照) 切削抵抗は

$$H_0/b^2 = p_0 + g_0 \cdot V \quad \text{--- (2)}$$

と表わされ、 p_0 、 g_0 は試料によって異なる値をとる。

p_0 は切削速度が 0 のときの切削抵抗値であるから、ほとんどの静的は破壊条件で測定した値である切削速度指数 ϵ_s と相関をもつことが予想され、整理の結果、

図.2 のように、 p_0 と ϵ_s は直線関係にあつた。 g_0 は切削速度に影響される程度を示すので、透水係数と相関をもち、図.3 のように g_0 と K には逆比例の関係にあつた。(ただし刃をうけた土の単位体積重量) p_0 、 g_0 の値を読みとり、すくい角 α の場合の切削抵抗水平分力は

$$H_0 = (1.6 \epsilon_s + 3.54 \times 10^{-2} \sqrt{V/R}) b^2 \quad \text{--- (3)}$$

と表わされる。また、すくい角を 20° 、 40° 、 60° と変えた実験の結果、いずれのすくい角の場合も $H_0/b^2 = p_0 + g_0 \cdot V$

の関係が保たれ、 p_0 と g_0 がすくい角によつて変化する割合は図.4 に示すように、試料に關係なく指標的に減少し、

$$p_0/p_0 = 10^{-0.0138\alpha}, \quad g_0/g_0 = 10^{-0.0106\alpha} \quad \text{であった。}$$

また、切削抵抗水平分力と鉛直分力の間には、切削速度、切削深さに関係なく、 $V_\alpha = H_0 \tan(\alpha - \delta)$ の関係が成立するので、以上の結果をまとめ、水中砂の定常切削基本式として、

$$\left. \begin{aligned} H_0 &= (p_0 \epsilon_s 10^{-m_1 \alpha} + g_0 \frac{\sqrt{V}}{R} 10^{-m_2 \alpha} V) b^2 \\ V_\alpha &= (p_0 \epsilon_s 10^{-m_1 \alpha} + g_0 \frac{\sqrt{V}}{R} 10^{-m_2 \alpha} V) b^2 \tan(\alpha - \delta) \end{aligned} \right\} \quad \text{--- (4)}$$

が得られた。 $R = R_s L$ 、 $P = 1.6$ 、 $g_0 = 3.54 \times 10^{-2}$ 、 $m_1 = 0.0138$ 、 $m_2 = 0.0106$

この実験式は式(1)を説明するものであるが、式(1)の第5項 γ_{α}^2 が現われていない。

それは、この項が流体中で刃が進むときにうけた抵抗で不可欠な項であり、本実験の速度範囲では無視できる値

か比らばないからである。

なお、切削速度がさらに大きくなる場合、刃幅と切削深さの比が大きくなるにつれては、こうに換算の余地がある。

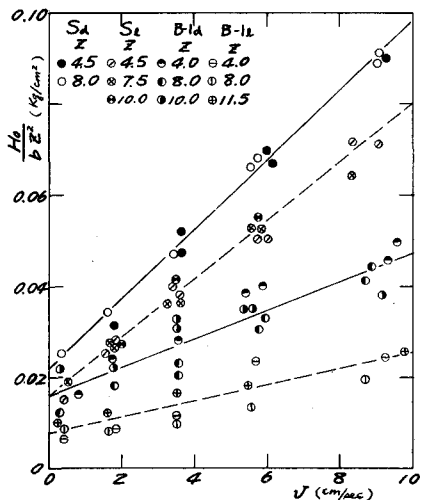


図.1 切削抵抗と切削速度の関係

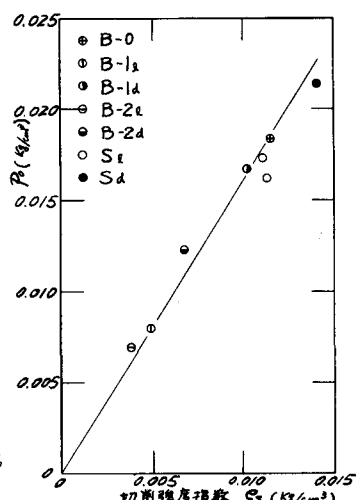


図.2 p_0 と切削強度指数の関係

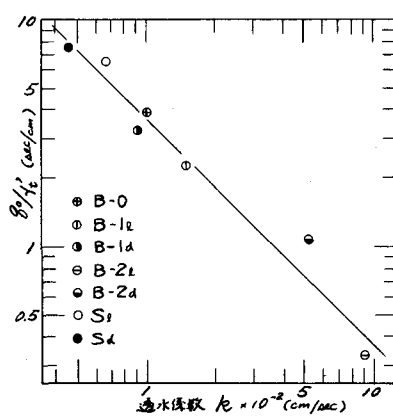


図.3 保証 g_0 と透水係数の関係

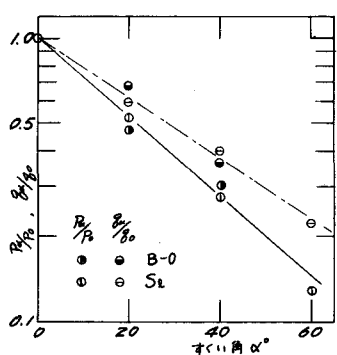


図.4 p_0/b^2 とすくい角の関係